

## การประยุกต์ใช้ point cloud ในการตรวจสอบความเรียบของงานผนัง

### The application of point cloud data for wall flatness measurement

ชนินทร์ รักไคร่<sup>1</sup>, สิรภพ ธัญญาพิเศษศักดิ์<sup>2</sup>, อัจฉราพรรณ วุ้ดค็อก<sup>3</sup>, และ วชิระ เพียรสุภาพ<sup>4</sup>

<sup>1,2,3,4</sup>ภาควิชาวิศวกรรมโยธา คณะวิศวกรรมศาสตร์ จุฬาลงกรณ์มหาวิทยาลัย

#### บทคัดย่อ

การตรวจสอบคุณภาพงานก่อสร้างผนังเป็นขั้นตอนสำคัญที่ส่งผลต่อทั้งความแข็งแรงและความสวยงามของอาคาร อย่างไรก็ตาม การตรวจสอบความเรียบของงานผนังด้วยเทคโนโลยี point cloud ยังขาดการประยุกต์ใช้เนื่องจากต้นทุนของอุปกรณ์ที่สูงและขาดข้อมูลการประเมินด้วย point cloud เทียบกับวิธีการประเมินในปัจจุบัน งานวิจัยนี้มีวัตถุประสงค์เพื่อวิเคราะห์และเปรียบเทียบความคลาดเคลื่อนในการตรวจสอบความเรียบของงานผนัง โดยใช้อุปกรณ์สแกนแบบเลเซอร์ FARO Focus M70 และเซ็นเซอร์ Light Detection and Ranging (LiDAR) บนอุปกรณ์ iPad Pro 6th Generation เทียบกับวิธีการตรวจสอบทั่วไป พร้อมประเมินความเป็นไปได้ในการนำเทคโนโลยีดังกล่าวมาใช้ภายใต้มาตรฐาน Construction Quality Assessment System (CONQUAS) โดยเก็บข้อมูลภาพจุดของผนังจากเครื่องมือทั้งสอง จากนั้นข้อมูลจะถูกนำไปประมวลผลแสดงความเรียบของผนังผ่านการเขียนชุดคำสั่ง MATLAB ด้วยวิธีกระบวนการ Random Sample Consensus (RANSAC) เพื่อสร้างระนาบอ้าวอิง และประเมินค่าความเบี่ยงเบนเชิงสถิติ พร้อมทั้งเปรียบเทียบค่าความคลาดเคลื่อนของระนาบข้อมูลภาพจุดจากอุปกรณ์ทั้งสอง และแสดงค่าความเรียบของระนาบผนังด้วยภาพชั้นสี รวมถึงเทียบผลลัพธ์กับวิธีการวัดแบบดั้งเดิม ซึ่งจากการศึกษาพบว่า FARO Focus M70 ให้ค่าความคลาดเคลื่อนเฉลี่ยจากระนาบระดับมิลลิเมตร และสามารถตรวจจับความไม่เรียบของผนังได้อย่างชัดเจน มีแนวโน้มคล้ายกับวิธีดั้งเดิม ขณะที่ iPad Pro ให้ค่าความคลาดเคลื่อนเฉลี่ยระยะห่างจากระนาบประมาณไปถึงระดับเซนติเมตร และมีข้อจำกัดในสภาพแวดล้อมที่มีแสง และเงา อีกทั้งหากพิจารณาในด้านของค่าแรง และต้นทุน จะพบว่า การตรวจสอบความเรียบด้วยอุปกรณ์เลเซอร์สแกนเนอร์ มีค่าใช้จ่ายและต้นทุนที่สูงกว่า แต่ก็แลกมา กับผลลัพธ์ที่แน่นอนกว่า

**คำสำคัญ:** ความเรียบงานผนัง, RANSAC, ไลดาร์, การตรวจสอบคุณภาพงานก่อสร้าง, พอยต์คลาวด์

#### Abstract

Quality control in construction is a critical process that affects both structural safety and architectural aesthetics. However, the evaluation of wall flatness using point cloud data still lacks practical application due to high equipment costs and lack of comparative analysis with traditional approaches. This study aims to investigate and analyze the differences in results of wall flatness measurement using a FARO Focus M70 laser scanner and the built-in Light Detection and Ranging (LiDAR) sensor of an iPad Pro 6th Generation, in comparison with conventional inspection methods. The research also evaluates the feasibility of adopting such technologies under the Construction Quality Assessment System (CONQUAS) standard. In this study, point cloud data from both devices were collected and processed for wall flatness using a MATLAB script with the Random Sample Consensus (RANSAC) algorithm to generate reference planes and compute statistical deviations, and the results also include color-coded visualizations of the classified point clouds. After that, the results obtained were compared with conventional methods. This study's results indicate that the FARO Focus M70 can provide an average deviation at the millimeter level and is capable of clearly detecting wall unevenness. The results even showed similarity with the traditional method. In contrast, the iPad Pro showed an average deviation at the centimeter level, and this result shows that the iPad Pro still has limitations due to environmental factors, specifically lighting and shadow conditions. In terms of cost, using laser scanning tools can cause higher labor and equipment costs, but can provide more accurate results.

**Keywords:** Wall flatness, RANSAC, LIDAR, Construction Quality control, Point cloud

## 1 บทนำ

### 1.1 ที่มาและความสำคัญ

การควบคุมคุณภาพเป็นหนึ่งในกระบวนการย่อยในการบริหารคุณภาพงานก่อสร้างที่จะมุ่งเน้นให้การก่อสร้างเป็นไปตามมาตรฐานชั้นการควบคุมคุณภาพจะมีขั้นตอนสำคัญคือการตรวจสอบคุณภาพซึ่งในการตรวจสอบคุณภาพงานก่อสร้างโดยทั่วไปแล้วจะมีมาตรฐานที่ระบุไว้ชัดเจน แต่ในส่วนของ การตรวจสอบความเรียบผนังในประเทศไทยนั้นยังไม่มีมาตรฐานที่กำหนดแน่นชัด ซึ่งผู้ตรวจสอบล้วนให้ผู้เชี่ยวชาญประเมินการณ์ และความพึงพอใจของตนเอง

จากที่กล่าวมาข้างต้น ผนวกกับความไม่แน่นอนของผลลัพธ์จากวิธีดังเดิม จึงมีเริ่มมีการประยุกต์ใช้ข้อมูลพอยต์คลาวด์ จากเทคโนโลยี Light Detection and Ranging (LiDAR) มาประยุกต์ใช้ตรวจสอบความเรียบของผนัง ซึ่งเทคโนโลยีดังกล่าวมีค่าคลาดเคลื่อนที่ยอมรับได้ในมาตรฐานงานสำรวจ แต่มีข้อจำกัดด้านต้นทุนค่าใช้จ่ายที่สูง และยังไม่มีการประเมินข้อมูลเทียบกับวิธีดังเดิมมากนัก

บทความวิจัยฉบับนี้จึงมุ่งเน้นการนำเอาเทคโนโลยี LiDAR ที่มีในทั้งในเลเซอร์สแกนภาคพื้นดิน Faro Focus M70 และแท็บเล็ตอย่าง iPad Pro 6<sup>th</sup> Generation มาศึกษาความเป็นไปได้ในการนำมาประยุกต์ใช้ตรวจสอบความเรียบของงานผนัง โดยจะวัดคุณภาพของข้อมูล ผ่านด้วยวิธีที่ เป็นค่าคลาดเคลื่อนเชิงสถิติ เทียบกับระนาบอ้างอิงที่สร้างขึ้นจากแต่ละข้อมูลที่ได้จากการสำรวจ ผ่านกระบวนการ RANSAC โดยนำไปวิเคราะห์ชุดค่าสั่งที่ออกแบบในโปรแกรม MATLAB ที่สร้างขึ้น ที่ทำให้ได้ผลลัพธ์ซึ่งแสดงผลเป็นค่าเชิงสถิติใช้สำหรับเบรียบเทียบคุณภาพข้อมูลที่ได้จากแต่ละอุปกรณ์ พร้อมทั้งภาพชั้นสิ้นที่จำแนกความเรียบและไม่เรียบ รวมถึงระหว่างการเก็บข้อมูลผนัง จะบันทึกด้านข้อมูลต้นทุน และผลิตผลที่ได้ แล้วนำมาเบรียบเทียบทั้งในด้านผลลัพธ์ และต้นทุนกับการตรวจสอบความเรียบผนังแบบดั้งเดิม เพื่อมองหาความเป็นไปได้ในการนำเทคโนโลยี LiDAR จากแท็บเล็ตและเลเซอร์สแกนภาคพื้นดินมาใช้ในงานตรวจสอบความเรียบผนัง

### 1.2 วัตถุประสงค์

- เพื่อวิเคราะห์เบรียบเทียบผลลัพธ์ในการตรวจสอบความเรียบงานผนังจาก iPad Pro 6<sup>th</sup> Generation และ FARO Focus M70 ในรูปแบบค่าเชิงสถิติจากค่าคลาดเคลื่อน และภาพชั้นสิ้นแสดงความเรียบรวมถึงเบรียบเทียบผลลัพธ์กับวิธีดังเดิม
- เพื่อวิเคราะห์ความเป็นไปได้ในการประยุกต์ใช้เทคโนโลยี LiDAR ใน iPad Pro 6<sup>th</sup> Generation และ FARO Focus M70 ในการตรวจสอบความเรียบของงานผนัง
- พิจารณาในด้านการบริหารต้นทุนของการใช้เทคโนโลยี LiDAR ใน iPad Pro 6<sup>th</sup> Generation และ FARO Focus M70 เพื่อตรวจสอบความเรียบของงานผนัง และเบรียบเทียบกับการตรวจสอบความเรียบของงานผนังในปัจจุบัน

### 1.3 ประโยชน์ที่คาดว่าจะได้รับ

- สามารถใช้เป็นแนวทางในการประยุกต์ใช้เทคโนโลยี LiDAR และผลลัพธ์ point cloud มาตรวจสอบคุณภาพความเรียบผนัง
- สามารถนำไปเป็นแนวทางในการเลือกใช้งานอุปกรณ์ LiDAR ให้เหมาะสมกับงาน จากผลที่ได้ในด้านการเบรียบเทียบความละเอียดถูกต้องของค่าคลาดเคลื่อนจากทั้ง 2 อุปกรณ์
- สามารถใช้เป็นแนวทางในการออกแบบชุดคำสั่ง Script สำหรับวิเคราะห์ point cloud ในการตรวจสอบความเรียบของงานผนัง
- สามารถนำไปประยุกต์ใช้ ประกอบการตัดสินใจในการเลือกใช้วิธีการในการตรวจสอบความเรียบงานผนังอย่างเหมาะสมในด้านผลลัพธ์ ต้นทุน และระยะเวลา

## 2 ทฤษฎีและงานวิจัยที่เกี่ยวข้อง

### 2.1 เกณฑ์ และมาตรฐานในการตรวจสอบงานผนัง

ปัจจุบันไม่มีเกณฑ์และมาตรฐานที่แน่นชัดในการตรวจสอบความเรียบผนัง โดยในแต่ละกลุ่มประเทศจะมีเกณฑ์ที่ใช้แตกต่างกันออกไปในประเทศไทย เช่น ประเทศไทยสิ่งก่อสร้าง จะมีมาตรฐานที่มีชื่อว่า The Construction Quality Assessment System (CONQUAS) (Building and Construction Authority,2022) โดยจะมีรายละเอียดของการตรวจสอบคุณภาพผนังภายใต้เงื่อนไขสิ่งก่อสร้าง แล้วผนังที่บรรจุกันที่มุ่งได้อย่างถูกต้องมีความแตกต่างของระดับผนังไม่เกิน 4 มิลลิเมตร ในระยะ 300 มิลลิเมตร โดยในนานาชนิดมีความแตกต่างของระดับผนังไม่เกิน 3 มิลลิเมตร ในระยะ 1.2 เมตร และในแนวตั้งมีความแตกต่างของระดับผนังไม่เกิน 3 มิลลิเมตรในระยะ 1 เมตร

### 2.2 ทฤษฎีที่เกี่ยวข้อง

เพื่อให้ได้ข้อมูลที่ถูกต้อง จำเป็นต้องทราบถึงทฤษฎีที่เกี่ยวข้องต่างๆ ดังที่จะกล่าวต่อไปนี้

#### 2.2.1 เทคโนโลยี Point Cloud และ Laser Scanner

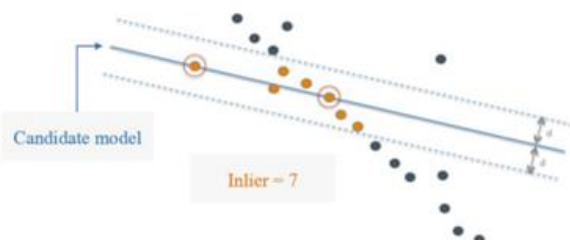
Point Cloud เป็นกลุ่มของข้อมูลจุดพิกัดสามมิติ โดยเก็บค่าตำแหน่งของวัตถุ ในพิกัด X, Y, และ Z โดยจะมีข้อมูลความเข้มและสี รวมถึงเชิงเซอร์ใน การเก็บข้อมูล สามารถนำไปสร้างแบบจำลอง 3 มิติ ซึ่งวิธีในการเก็บข้อมูล Point Cloud สามารถเก็บข้อมูลด้วยวิธี Laser Scanner ซึ่งเป็นงานสำรวจที่ใช้เชิงเซอร์ร่วมกับการยิงเลเซอร์ไปยังวัตถุ เพื่อวัดระยะห่างจากเป้าหมาย โดยวัดจากระยะเวลาที่แสงเลเซอร์สะท้อนกลับมาจากวัตถุถึงตัวรับสัญญาณ ซึ่งโดยปกติจะมีกล้อง RGB เพื่อบันทึกลักษณะของวัตถุได้ หรือสามารถใช้วิธีการเก็บข้อมูลแบบ Photogrammetry ซึ่งเป็นอีกทางเลือกหนึ่งได้

## 2.2.2 ทฤษฎีแนวโน้มเบ้าสู่คุณย์กลาง (Central Limit Theorem : CLT)

Central Limit Theorem คือการแจกแจงตัวอย่างที่มีแนวโน้มจะเข้าใกล้การแจกแจงปกติหรือการกระจายแบบธรรมชาติ เมื่อนำมาของตัวอย่างมีขนาดใหญ่มากพอ ซึ่งข้อสรุปดังกล่าวมาจากการทดลองสุ่มประชากรหลายครั้ง และบันทึกค่าสถิติที่ได้จากการสุ่มตัวอย่างในแต่ละครั้ง เช่นค่าเฉลี่ย (Mean) หรือค่าร้อยละ (%) และนำค่าเหล่านามาร์กgrafทางสถิติ ซึ่งกราฟจะออกมามีเป็นการแจกแจงแบบปกติเสมอ โดยมีเงื่อนไขสำคัญคือ การสุ่มตัวอย่างต้องต้องเป็นไปอย่างอิสระ และกลุ่มตัวอย่างต้องมีขนาดใหญ่พอ คือมากกว่าเท่ากับ 30 ตัวอย่าง ซึ่งเป็นตัวอ้างอิงที่นิยมทั่วไป (Fischer,2011)

## 2.2.3 กระบวนการ Random Sample Consensus (RANSAC)

กระบวนการ RANSAC เป็นกระบวนการที่ใช้สำหรับตรวจจับโครงสร้างเรขาคณิตพื้นฐาน เช่น เส้นตรงใน 2 มิติ และรูปทรง 3 มิติ รวมทั้งใช้จัดการกับจุด Point Cloud 3 มิติ โดย RANSAC จะทำงานแบบวนซ้ำ (iterative) ที่เริ่มจากการแยกข้อมูล Inliers จุดข้อมูลที่อยู่ในโมเดล และ Outliers จุดข้อมูลที่อยู่นอกโมเดล จากนั้นจะทำการสุ่ม 3 จุด จากจุดที่อยู่ในโมเดลทั้งหมดเพื่อประมาณค่าพารามิเตอร์ และสร้างรูปแบบที่เป็นไปได้ โดยจะมีคะแนนที่บ่งบอกจำนวนจุดที่อยู่ใน Point Cloud ที่อยู่ใกล้รูปแบบนั้น ภายในระยะที่กำหนด (Threshold) โดยทำการสุ่มหลายรอบเพื่อให้ได้รูปแบบที่มีคะแนนที่หรือจุดข้อมูลอยู่ในระยะที่กำหนด (Inliers) มากที่สุดเพื่อนำรูปแบบนั้นมาใช้แทนรูปแบบที่แท้จริงของข้อมูลทั้งหมด ดังแสดงในรูปที่ 1



รูปที่ 1 แสดงการใช้กระบวนการ RANSAC สร้างโมเดลเส้นตรงผ่านช่วงข้อมูล Inlier จากงานวิจัยที่อ้างอิง

## 2.2.4 การกำหนดจำนวนครั้งในการสุ่ม

การกำหนดจำนวนครั้งในการสุ่มแสดงด้วยตัว T ดังแสดงในสมการที่ (1) และสมการที่ (2)

$$T = \log(1 - \alpha) / \log(1 - (1 - e)^s) \quad (1)$$

เมื่อกำหนดให้

$$\alpha = 1 - (1 - (1 - e)^s)^T \quad (2)$$

โดยที่  $e$  คือ ความน่าจะเป็นที่จุดใดๆหนึ่งจะเป็น Outlier  
 $S$  คือ จำนวนจุดในชุดสุ่ม (sample size)

$T$  คือ จำนวนรอบในการสุ่ม (trials)

$\alpha$  คือ ค่าความน่าจะเป็นที่ต้องการ

โดยจำนวนจุดที่ใช้ในชุดสุ่ม ( $S$ ) จะกำหนดเท่ากับ 3 ซึ่งเป็นจำนวนจุดขั้นต่ำในการตรวจจับโครงสร้างฐาน โดยค่าความน่าจะเป็น ( $\alpha$ ) จะมีค่าขั้นต่ำอยู่กับความต้องการผู้ใช้งาน อาจกำหนดเป็น 0.90 (ความเชื่อมั่น 90 %) และ และค่าของ  $1 - e$  สามารถหาได้จากสมการที่ (3)

$$1 - e = n_{plane} / n_{total} \quad (3)$$

โดยที่  $n_{plane}$  คือ จำนวนจุดในรูปแบบที่เลือกที่สุด  
 $n_{total}$  จำนวนจุดทั้งหมด

โดยทฤษฎีที่เกี่ยวข้อง และรูปภาพของกระบวนการ RANSAC ที่ได้กล่าวไป อ้างอิงจากงานวิจัย (Dooougphummet et al.,2022)

### 3 ระเบียบขั้นตอนวิธีวิจัย

ในงานวิจัยนี้มีวัตถุประสงค์เพื่อวิเคราะห์เทคโนโลยี LiDAR ในแท็บเล็ต (iPad Pro 6<sup>th</sup> Generation) และเปรียบเทียบกับเทคโนโลยี LiDAR ที่มาจากการเครื่องมือสำรวจโดยเฉพาะ (Faro Focus M70) ในการตรวจสอบคุณภาพความเรียบผิว และออกแบบพัฒนาชุดคำสั่ง (Script) บนโปรแกรม MATLAB ที่สามารถวิเคราะห์ Point Cloud ที่ได้จากการเบรียบเทียบอุปกรณ์ข้างต้น ด้านความละเอียดถูกต้องและวิเคราะห์ ความเป็นไปได้ในการใช้เทคโนโลยี LiDAR ในการตรวจสอบคุณภาพผิว โดยพิจารณาในส่วนการบริหารด้านทุน เปรียบเทียบกับวิธีการทั่วไปในการตรวจสอบความเรียบของผิว ซึ่งมีขั้นตอนดังต่อไปนี้

#### 3.1 ศึกษาทฤษฎีและงานวิจัยที่เกี่ยวข้อง

ศึกษาทฤษฎีที่เกี่ยวข้อง และ ภาพรวมการตรวจสอบความเรียบผิว และเกณฑ์มาตรฐานที่ใช้ รวมถึงข้อจำกัดของงานวิจัยการใช้เทคโนโลยี LiDAR ที่ผ่านมา

#### 3.2 ประเมินแหล่งข้อมูล กำหนดอุปกรณ์เครื่องมือที่ใช้ และพื้นที่ศึกษา

กำหนดอุปกรณ์ที่ใช้ในการเก็บข้อมูลคือ iPad Pro 6<sup>th</sup> Generation และอุปกรณ์ LiDAR เลพ้าทาง Faro Focus M70 รวมถึงพื้นที่ที่สามารถเก็บต้นทุนด้านเวลา และค่าใช้จ่าย ซึ่งในที่นี้พื้นที่ศึกษา คือ พื้นที่ก่อสร้างของบริษัท ซี อี เอส จำกัด ใช้ตั้งงานก่อสร้างอาคารศาลาเจ้าใต้ช่องกง(สถาพร) ถนนเจริญราษฎร์ช่วง 2 แขวงยานนาวา เขตสาทร กรุงเทพมหานคร 10120

### 3.3 ออกแบบวิธีการเก็บข้อมูล Point Cloud

ทำการลงพื้นที่สำรวจ เพื่อออกแบบวิธีการเก็บข้อมูล Point Cloud  
3.3.1 กำหนดจำนวนด้วยอย่างและลักษณะของผนัง

โดยจะเก็บจำนวนตัวอย่างทั้งหมด 30 ผนัง ตามทฤษฎี CLT ที่ได้กล่าวไปในหัวข้อที่ 2.2.2 และกำหนดให้เป็นผนังปูนฉาบ โดยแตกต่างไปตามสภาพปูด้วยทางกายภาพ คือขนาด, สีผนัง, แสงและเงา ที่ต้องระบุเป็นหลัก

#### 3.3.2 การออกแบบวิธีการเก็บข้อมูล

โดยจะใช้เครื่องมือ Faro Focus M70 ปรับคุณภาพการสแกนเป็น  $\frac{1}{4}$  ซึ่งเป็นคุณภาพการสแกนที่ใช้ทั่วไป และสำหรับอุปกรณ์ iPad Pro 6<sup>th</sup> Generation จะเก็บข้อมูลผ่านแอปพลิเคชันที่ชื่อว่า Modelar โดยปรับระยะเข็นเชือร์สูงสุดได้เพียง 5 เมตร ในที่นี้ ระยะตั้งกล้องของทั้งสองอุปกรณ์ดังกล่าวเลือกใช้ที่ 2 เมตร ซึ่งไม่เกิน 4 เมตร ซึ่งเป็นระยะที่เหมาะสมตามงานวิจัยอ้างอิงที่เกี่ยวข้อง (คักดันท์ พฤทธิ์ และวิรชร พิษัยรุสภาค, 2564) โดยจะทำการกำหนดขอบเขตของผนังที่ต้องการเก็บ แล้วเริ่มทำการสแกนเก็บภาพผนังด้วย 2 อุปกรณ์ตามที่กล่าวไว้ข้างต้นจำนวนทั้งหมด 30 ผนัง ซึ่งจะได้ผลลัพธ์ออกมาเป็นภาพสแกนของผนังของอุปกรณ์ที่ทำการสแกนนั้นๆ

### 3.4 การจัดการข้อมูล Point Cloud ก่อนนำไปใช้งาน

โดยจะนำผลลัพธ์ภาพสแกนที่ได้จากทั้ง 2 อุปกรณ์ จำนวนทั้งหมด 30 ผนัง มาปรับแต่งให้กลายเป็นข้อมูล Point Cloud (สกุลไฟล์ las) และลดจำนวนจุดที่เกิด Noise และ Outliers โดยภาพสแกนที่ได้จาก Faro Focus M70 จะทำการปรับแกนให้ระบบผนังในแนวตั้งบนนำไปกับแกน Z และแนวอนบนนำไปกับแกน Y และแกน X จะมีพิเศษเพิ่มเข้ามาตัวเอง รวมถึงครอบด้วยผนังเฉพาะบริเวณที่จะนำไปประมวลผลใน MATLAB ต่อไปในภายหลัง ผ่านโปรแกรม Scene เนื่องด้วยกับภาพสแกนที่ได้จาก iPad Pro 6<sup>th</sup> Generation จะทำการปรับแต่งแกนผ่านโปรแกรม Cloud Compare ก่อนจะนำไปประมวลผลใน MATLAB ต่อไป

### 3.5 การออกแบบชุดคำสั่งสำหรับการตรวจสอบความเรียบผนัง

เริ่มจากนำเข้าข้อมูล Point Cloud ทั้งสองเครื่องมือ Faro Focus M70 และ iPad Pro 6<sup>th</sup> Generation และแสดงผล Point Cloud เป็นรูปสามมิติ จากนั้นใช้คำสั่งประมวลผล RANSAC โดยกำหนดจำนวนการสุ่มรอบ โดยทั้งสองอุปกรณ์นี้ขึ้นตอนวิธีเหมือนกันทุกส่วน ต่างแค่กำหนดค่า Threshold เท่านั้น ตามทฤษฎี RANSAC ที่กล่าวไว้ในหัวข้อ 2.2.3 ในที่นี้จะใช้จำนวนการสุ่มทั้งหมดกำหนดขึ้น 1000 รอบ เนื่องจากเมื่อทดลองจำนวนจำนวนการสุ่มตามสมการที่ 1 และ สมการที่ 2 ที่ระดับความเชื่อมั่น 90% ขึ้นไปพบว่าได้ผลจำนวนรอบที่มากส่งผลให้ใช้ระยะเวลาประมวลผลนานเกินไป จึงกำหนดจำนวนรอบขึ้นเพื่อให้สามารถวิจัยให้ผลลัพธ์ในเวลาจำกัดได้ หลังจากนั้นทำการกำหนดค่า Threshold ของ iPad Pro 6<sup>th</sup> Generation เท่ากับ 3 มิลลิเมตร จากประสิทธิภาพอุปกรณ์ และของ iPad Pro 6<sup>th</sup> Generation เท่ากับ 3 เซนติเมตร จาก

ความละเอียดของอุปกรณ์ได้ถูกระบุในงานวิจัย (Abdel-Majeed et al., 2024) หลังได้รับมาที่เข้ากับ Point Cloud มาตรฐานที่สุด โปรแกรมจะทำการแยกจุดที่เป็น Outlier ออกเป็นสีแดง และ Inlier เป็นสีเขียว ในที่นี้จะจำแนกความเรียบผนังจากการคำนวณระยะทางจากจุดไปยังระบบดังสมการที่ 3

$$e = (|aX_p + bY_p + cZ_p + d|) / (\sqrt{a^2 + b^2 + c^2}) \quad (3)$$

โดย  $a, b, c$  คือ ค่าสัมประสิทธิ์

$d$  คือ ค่าคงที่

$X_p, Y_p, Z_p$  คือ ค่าตัวแปรเชิงพิกัดของจุดที่ห่างจากระนาบ

$e$  คือ ระยะห่างระหว่างระบบและ จุด

จากการหาระยะห่างข้างต้น จะสามารถทำการจำแนกความเรียบผ่านจุดยุบและนูนได้ โดยใช้มาตรฐาน CONQUAS โดยกำหนดค่า Tolerance เป็น  $\pm 0.003$  เมตร จุดที่อยู่ในระยะ Tolerance หรือใกล้ระบบ จะแสดงข้อมูลเป็นสีเขียว จุดที่อยู่สูงกว่าระบบหรือนูนเกินค่า Tolerance จะเป็นผิวนูนจะแสดงเป็นสีน้ำเงิน และจุดที่อยู่ต่ำกว่าระบบ หรืออยุบเกินค่า Tolerance จะแสดงเป็นสีชมพู

โดยสุดท้ายทำการสรุปเปรียบเทียบเป็นค่าสถิติได้แก่ ระยะห่างเฉลี่ยระหว่างจุด และระบบที่สร้างจากอุปกรณ์เดียวกัน (Mean distance to plane), ค่าความเบี่ยงเบนมาตรฐาน ของจุดทั้งหมดที่ห่างจากระนาบ (Standard Deviation to plane), เปอร์เซ็นต์ของจุดที่เรียบ (% Smooth points), ค่าเบี่ยงเบนสูงสุด (Max deviation), ความหนาแน่นของจุด (Point count)

### 3.6 การออกแบบชุดคำสั่งสำหรับการตรวจสอบความเรียบของงานผนัง

#### 3.6.1 แนวคิดในการเปรียบเทียบข้อมูล

จากค่าทางสถิติที่สนใจ มีข้อมูลอยู่ 4 ประเภทที่สามารถบ่งบอกถึงคุณภาพของข้อมูล Point Cloud

- ระยะห่างเฉลี่ย ระหว่างจุดและระบบ (Mean Distance) หากได้ค่าระยะห่างที่เบี่ยงเบนในระดับเซนติเมตร แสดงว่าผลลัพธ์ผิดเพี้ยนไปจากผนังในความเป็นจริง หรือ Point Cloud มีความหนาแน่น
- ค่าความเบี่ยงเบนมาตรฐาน ของจุดทั้งหมดที่ห่างจากระนาบ (Standard Deviation) บ่งบอกถึงความสม่ำเสมอ หากมีค่าสูงแสดงว่าอาจมีจุดที่อยุบหรือนูนมาก ผิดปกติ หรือสามารถบ่งบอกถึง Noise ที่สูงได้
- เปอร์เซ็นต์ของจุดเรียบ (% Smooth Points) แบ่งออกเป็น กับค่า Mean Distance ซึ่งหากค่า Mean Distance ต่ำ แสดงว่ามี % Smooth Points ที่สูง
- จำนวนจุด Point Cloud (Point count) ใช้สำหรับการหาค่าเฉลี่ยรวม จากการถ่วงน้ำหนักด้วยค่า Point Count เพื่อสรุปข้อมูลค่าเฉลี่ย

### 3.7 ทดลองเก็บข้อมูล Point Cloud รวมถึง ข้อมูลด้าน ระยะเวลาและต้นทุน

ทำการเก็บข้อมูล Point Cloud จาก Faro Focus M70 และ iPad Pro 6<sup>th</sup> Generation ตามที่ออกแบบให้ครบ และทำการบันทึกระยะเวลาและทรัพยากรที่ใช้

### 3.8 นำข้อมูล Point Cloud ประมวลผลตามชุดคำสั่งที่ออกแบบ

นำอยู่ต์คลาร์ปะมวลผลตามชุดคำสั่งที่ออกแบบตามหัวข้อ 3.5

### 3.9 สัมภาษณ์ผู้มีประสบการณ์และตรวจสอบความเรียบผนัง ผนังแบบตั้งเดิม

ทำการตรวจสอบความเรียบผนังด้วยวิธีทั่วไปผ่านเครื่องสามเหลี่ยม ปาดปูน โดยตรวจสอบเฉพาะผนังที่จุดที่เกิดความไม่เรียบเท่านั้น

### 3.10 อภิปรายผลการทดลอง

โดยอภิปรายผลการทดลองที่ได้จากการเก็บข้อมูล Point Cloud จากทั้งสองเครื่องมือ ซึ่งคือ Faro Focus M70 และ iPad Pro 6<sup>th</sup> Generation และนำข้อมูลทั้งหมดที่ได้จากการศึกษาเทคโนโลยี Point Cloud, วิธีการตรวจสอบความเรียบผนังทั่วไป ไปแก่ ความละเอียดถูกต้อง ต้นทุนค่าใช้จ่าย แรงงาน เวลา อุปกรณ์ในการประมวลผล มาเปรียบเทียบเพื่อดูความแตกต่าง และอภิปรายชี้แจงความเป็นไปได้ในการนำเทคโนโลยี LiDAR ในโทรศัพท์มือถือหรือแท็บเล็ต ในการนำไปใช้ตรวจสอบคุณภาพงานก่อสร้างหน้างานจริง

## 4 ผลการศึกษา

### 4.1 ผลการสำรวจตัวอย่างผนัง

จากการสำรวจตัวอย่างกำแพงที่สถานที่ก่อสร้าง ทางคณะผู้จัดทำได้ทำการถ่ายรูป และบันทึกลักษณะทางกายภาพของกำแพงตัวอย่าง ดังตัวอย่างผลการสำรวจในตารางที่ 1

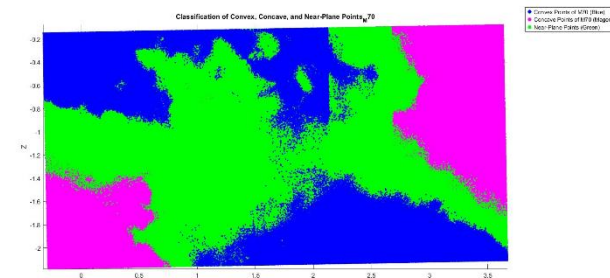
ตารางที่ 1 ตัวอย่างผลการสำรวจตัวอย่างผนัง

ลำดับ ที่	รูปถ่ายจาก สถานที่จริง	ขนาดของตัวอย่าง (เมตร x เมตร)	ลักษณะ	แสง และเงา	หมายเหตุ
25		3.5 x 2.0	ลักษณะ	สว่าง	

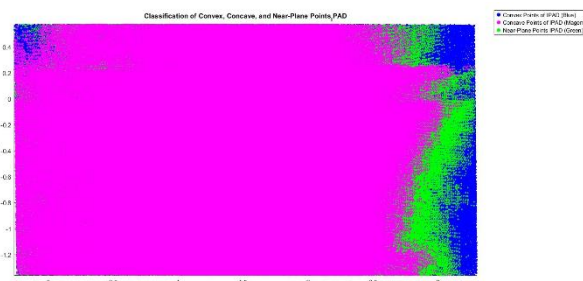
### 4.2 ชุดคำสั่งที่ออกแบบสำหรับการประมวลผล

ทางคณะผู้จัดทำได้ทำการออกแบบชุดคำสั่ง (script) ที่ทำงานผ่านโปรแกรม MATLAB โดยได้ผลลัพธ์หลัก ๆ เป็นผลการตรวจสอบความเรียบของผนังที่บ่งบอกความบุบ และบูนของเต็ลลูริດ จากทั้งสองเครื่องมือ ตามมาตรฐาน CONQUAS ที่เคยก้าวไว้ ด้วยเกณฑ์  $\pm 3$  มิลลิเมตร โดยอ้างอิงจากระนาบของ RANSAC ดังแสดงในรูปที่ 2 และรูปที่ 3 พร้อมทั้งค่าที่บ่งบอกถึงลักษณะของพอยต์คลาร์ต์ ผลลัพธ์ ได้แก่ ระยะห่างเฉลี่ยระหว่างจุด และระนาบที่สร้างจากอุปกรณ์เดียวกัน (Mean distance to plane), ค่าความเบี่ยงเบน

มาตรฐาน ของจุดทั้งหมดที่ห่างจากระนาบ (Standard Deviation to plane), เปอร์เซ็นต์ของจุดที่เรียบ (% Smooth points) และจำนวนจุดพอยต์คลาร์ต์ (Point count)



รูปที่ 2 ตัวอย่างผลลัพธ์การตรวจสอบความเรียบของงานผนัง ด้วยอุปกรณ์ FARO Focus M70



รูปที่ 3 ตัวอย่างผลลัพธ์การตรวจสอบความเรียบของงานผนัง ด้วยอุปกรณ์ iPad Pro 6<sup>th</sup> Generation

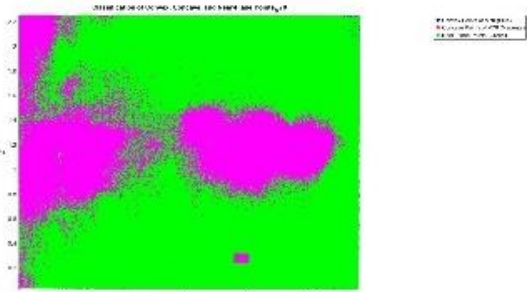
### 4.3 ผลลัพธ์การตรวจสอบความเรียบของงานผนังจากทั้งสองเครื่องมือ

จากการเปรียบเทียบผลลัพธ์ของทั้งสองเครื่องมือพบว่าค่าเฉลี่ยของระยะห่างระหว่างข้อมูลกับระนาบ RANSAC ของอุปกรณ์ FARO Focus M70 นั้นมีค่าเฉลี่ยส่วนใหญ่ให้ค่าอยู่ที่ประมาณ 1 มิลลิเมตร และมีส่วนเบี่ยงเบนมาตรฐานส่วนใหญ่อยู่ที่ต่ำกว่า 1 มิลลิเมตร ซึ่งตรงกับความเป็นจริง ที่รอยบุบ และบูนควรจะมีขนาดในระดับนี้ ในทางกลับกัน จากข้อมูลของอุปกรณ์ iPad Pro 6<sup>th</sup> Generation พบร่วมมีค่าคลาดเคลื่อนและส่วนเบี่ยงเบนมาตรฐานที่ใกล้เคียงกับระดับเซนติเมตร ซึ่งในความเป็นจริง เป็นไปได้ยาก ที่รอยบุบจะมีขนาดเฉลี่ยให้ถึงระดับนี้ และหากสภาพแวดล้อมในการเก็บข้อมูลเปลี่ยนไป เช่นมีแสงมากขึ้น แนวโน้มของอุปกรณ์ iPad Pro นั้น จะใกล้กับความเป็นจริงมากขึ้นด้วย รวมถึงจากข้อมูลเปอร์เซ็นต์ของจุดที่เรียบ พบร่วมอุปกรณ์ FARO Focus M70 ส่วนใหญ่ต่ำกว่า 10% เรียบได้ที่ 90 - 100 เปอร์เซ็นต์ ในขณะที่ iPad Pro 6<sup>th</sup> Generation ข้อมูลส่วนใหญ่ต่ำกว่า 10 - 20 เปอร์เซ็นต์ จากข้อมูลผนังชุดเดียวกัน

### 4.4 การตรวจสอบความเรียบของงานผนังตัวอย่างวิธีตั้งเดิม

จากการสัมภาษณ์ผู้มีประสบการณ์ในการตรวจสอบความเรียบของผนัง ได้ข้อมูลถึงอุปกรณ์ที่ใช้ โดยหลัก ๆ นั้น จะใช้เลเซอร์กำหนดแนวเส้น, ตัวบันได และเครื่องสามเหลี่ยมปาดปูน แต่เนื่องจากทางคณะผู้จัดทำ ไม่สามารถจัดหาเลเซอร์กำหนดแนวเส้นได้ จึงใช้เพียง

เครียงสามเหลี่ยมปัดปูน ซึ่งจะตรวจสอบได้เพียงความไม่เรียบเท่านั้น ซึ่งได้ผลลัพธ์ตัวอย่างดังรูปที่ 4 และรูปที่ 5 ที่แสดงให้เห็นว่าการตรวจความเรียบด้วย FARO Focus M70 นั้น ให้ผลลัพธ์ที่ใกล้เคียง กับวิธีดั้งเดิม แต่ในส่วนของอุปกรณ์ iPad Pro 6th Generation นั้น ไม่พบว่าผลลัพธ์ใกล้เคียงกัน



รูปที่ 4 ตัวอย่างผลลัพธ์เปรียบเทียบการตรวจความเรียบของงานผนัง ด้วยอุปกรณ์ FARO Focus M70



รูปที่ 5 ตัวอย่างผลลัพธ์เปรียบเทียบการตรวจความเรียบของงานผนัง ด้วยอุปกรณ์วิธีดั้งเดิม

#### 4.5 ค่าใช้จ่าย และทรัพยากรที่ใช้ในแต่ละวิธีการ

จากข้อมูลที่ได้รวมมาในขั้นตอนก่อนหน้า ในเชิงของการเปรียบเทียบนั้น หากกำหนดให้ตำแหน่งไฟร์แมนมีเงินเดือนที่ 20,000 บาท ตำแหน่งช่างมีเงินเดือนที่ 12,000 บาท ในแต่ละเดือนทำงาน 22 วัน รวมวันละ 8 ชั่วโมง และในแต่ละครั้งที่ทำการตรวจจะต้องมีไฟร์แมนหนึ่งคนในทีม ผนวกกับข้อมูลที่ได้ทำการสำรวจ พบว่าการตรวจความเรียบด้วย FARO Focus M70 ได้พื้นที่เฉลี่ย 8 ตารางเมตร ในระยะเวลา 15 นาที ใช้คนในการตรวจ 2 คน การตรวจความเรียบด้วย iPad Pro 6<sup>th</sup> Generation ได้พื้นที่เฉลี่ย 8 ตารางเมตร ในระยะเวลา 10 นาที ใช้คนในการตรวจ 2 คน และการตรวจความเรียบด้วยวิธีดั้งเดิม ได้พื้นที่เฉลี่ย 6.25 ตารางเมตร ในระยะเวลา 5 นาที ใช้คนในการตรวจ 3 คน โดยจะใช้ข้อมูลนี้ประกอบในการเปรียบเทียบ ได้ข้อมูลดังตารางที่ 2

ตารางที่ 2 สรุปต้นทุนของแต่ละวิธีการ

วิธีการ	ผลิตภาพแรงงาน (ตร.ม./คน-ชั่วโมง)	ต้นทุนแรงงานเฉลี่ย (บาท/คน-ชั่วโมง)	ต้นทุนแรงงาน ต่อหน่วย (บาท/ตร.ม.)
FARO Focus M70	16	90.91	5.68
iPad Pro 6 <sup>th</sup> Generation	24	90.91	3.79
วิธีดั้งเดิม	25	83.33	3.33

และหากใช้ข้อมูลราคาอุปกรณ์ต่าง ๆ ผนวกกับการกำหนดให้เปลี่ยนอุปกรณ์ทุก 5 ปี อ้างอิงจากระยะเวลาการวางขายอุปกรณ์รุ่นใหม่ของทาง FARO และประมาณราคาจากเครื่องใช้ตัวชี้บยาในต่างประเทศ จะได้ผลลัพธ์ค่าเฉลี่ย ดังตารางที่ 3 โดยกำหนดให้ภายใน 1 ปี มีวันทำงาน 300 วัน

ตารางที่ 3 สรุปต้นทุนอุปกรณ์ และค่าเฉลี่วมของแต่ละวิธีการ

วิธีการ	ต้นทุนอุปกรณ์ (บาท)	ราคาชาาก (บาท)	ค่าเฉลี่วมต่อ ชั่วโมง (บาท/ชั่วโมง)
FARO Focus M70	1,009,000	600,000	34.08
iPad Pro 6 <sup>th</sup> Generation	51,400	25,000	2.20
วิธีดั้งเดิม	15,150	5,000	0.85

#### 5 สรุปผลการวิจัย

##### 5.1 สรุปผลการศึกษาผลลัพธ์จากการตรวจส่องความเรียบผนังด้วยอุปกรณ์

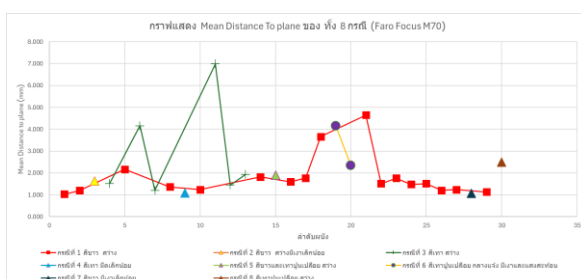
ในการประเมินความเรียบของผนังคอนกรีตโดยใช้อุปกรณ์สองประเภท ได้แก่ เครื่องสแกนเลเซอร์สามมิติ Faro Focus M70 และอุปกรณ์ iPad Pro 6<sup>th</sup> Generation ซึ่งติดตั้งได้ราบรยากในตัวอุปกรณ์ โดยทำการเก็บข้อมูลจากผนังคอนกรีตจำนวน 30 ผนัง ตัวอย่างในพื้นที่ศึกษาที่กำหนด ภายใต้สภาพแวดล้อมที่หลากหลาย โดยมี 8 กรณีแสดงในตารางที่ 4

ตารางที่ 4 กรณีในการวิเคราะห์สภาพปัจจัยของผนังตัวอย่าง

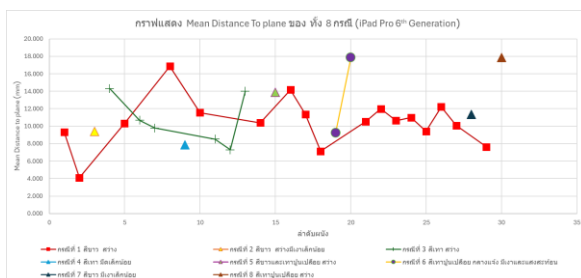
กรณี	สีผนัง	แสง และเงา
1	สีขาว	สว่าง
2	สีขาว	สว่างมีเงาเล็กน้อย
3	สีเทา	สว่าง
4	สีเทา	มีเดลิกันน้อย
5	สีขาว และเทาปูนเปลือย	สว่าง

กรณี	สีผนัง	แสง และเงา
6	สีเทาปูนเปลือย	กลางแจ้ง มีเงา และแสงสะท้อน
7	สีขาว	มีเงาเล็กน้อย
8	สีเทาปูนเปลือย	สว่าง

จาก 8 กรณีไม่ได้ใช้ค่าสถิติของส่วนเบี่ยงเบนมาตรฐาน (Standard Deviation) เนื่องจากในบางกรณีมีชุดข้อมูลเพียงชุดเดียว ซึ่งไม่เพียงพอต่อการหาค่าดังกล่าว ดังนั้นจึงแสดงผลค่า Mean distance to plane สามารถแยกแจงผลลัพธ์ของแต่ละอุปกรณ์ในแต่ละกรณีได้เป็นดังรูปที่ 6 และรูปที่ 7



รูปที่ 6 กราฟแสดงค่า Mean Distance to plane ของทั้ง 8 กรณี (Faro Focus M70)



รูปที่ 7 กราฟแสดงค่า Mean Distance to plane ของทั้ง 8 กรณี (iPad Pro 6th Generation)

จากการวิเคราะห์ผลลัพธ์เชิงสถิติในรูปที่ 6 ที่ได้จากการตรวจสอบความเรียบของผนัง พบร่วมกับอุปกรณ์ M70 Faro Scanner ให้ค่าความคลาดเคลื่อนเฉลี่ยในระดับต่ำ โดยมีค่าเฉลี่ยค่าร่องน้ำหนักที่ 2.022 มิลลิเมตร ค่าโดยส่วนใหญ่ระหว่างประมาณ 1-2 มิลลิเมตร และค่า Standard Deviation โดยส่วนใหญ่ไม่เกิน 2 มิลลิเมตร ค่ากระจุกที่ช่วง 0.8-1.0 มิลลิเมตร และ มีร้อยละของจุดเรียบ (Smooth Points) ผลลัพธ์กระจุกตัวในช่วง 90 - 100% ในหลายกรณี และเมื่อพิจารณาปัจจัยอื่นๆ สี แสงและเงา พบร่วมกับมีผลกระทบต่อผลลัพธ์มาก มีค่าทางสถิติเปลี่ยนแปลงเล็กน้อย

ในทางตรงกันข้าม ผลลัพธ์จาก iPad Pro 6th Generation ในรูปที่ 7 ให้ค่าความคลาดเคลื่อนสูงกว่ามาก โดยมีค่าเฉลี่ยค่าร่องน้ำหนักของ (Mean Distance to plane) ที่ 10.568 มิลลิเมตร ส่วนใหญ่ค่ากระจุกที่ช่วง 10-12 มิลลิเมตร และค่า Standard Deviation ส่วนใหญ่ค่ากระจุกที่ช่วง 1.0-1.2 มิลลิเมตร อีกทั้งร้อย

ละของจุดเรียบมีแนวโน้มต่ำกว่า 30% ทุกผนังตัวอย่าง ค่ากระจุกในช่วง 10-20% ตั้ง

ค่าเชิงสถิติที่ได้ก่อกราบข้างต้น นำค่ามาเปรียบเทียบพบว่า ค่าเฉลี่ยระยะจากระนาบ (Mean Distance to Plane) และค่าส่วนเบี่ยงเบนมาตรฐาน (Standard Deviation) ของอุปกรณ์ ของ Faro Focus M70 มีค่าต่ำอยกว่า ค่าทั้ง 2 ค่าจากอุปกรณ์ iPad Pro 6th Generation นอกจากนี้ค่าร้อยละของจุดที่เรียบ (Smooth Points) มีความสัมพันธ์แปรผันกับค่าเฉลี่ยระยะจากระนาบ (Mean Distance to Plane)

ซึ่งจากผลการทดลองข้างต้น พบร่วมกับ แสง และเงา ต่างกรณีมีผลกระทบต่อค่า mean distance to plane เป็นอย่างมาก สำหรับเครื่องมือ Faro Focus M70 ในขณะที่ iPad Pro 6th Generation มีค่าเปลี่ยนแปลงมาก โดยค่าจากเครื่องมือ Faro Focus M70 มีค่าในช่วง 1-7 มิลลิเมตร ส่วน iPad Pro 6th Generation มีค่าในช่วง 4-18 มิลลิเมตร ทั้ง 2 เครื่องมือ โดยมีกรณีที่ 8 ซึ่งมีค่าโดดเด่นขึ้นมาเหมือนกัน โดยอาจพิจารณาได้ว่าเป็นสภาพแวดล้อมที่ไม่เหมาะสมสำหรับทั้ง 2 เครื่องมือ

## 5.2 การเปรียบเทียบผลลัพธ์ที่จากการตรวจสอบความเรียบ

### ด้วยอุปกรณ์ M70 Faro Scanner เทียบกับวิธีดังเดิม

ในด้านการเปรียบเทียบผลลัพธ์นั้น พบร่วมกับความสามารถตรวจความเรียบได้ใกล้เคียงกับการตรวจด้วยวิธีดังเดิม คือเห็นผลลัพธ์ความไม่เรียบได้เหมือนกัน ในพื้นที่ใกล้กัน แต่การตรวจความเรียบของงานผนังด้วยวิธีการดังเดิมนั้น อาศัยการใช้วิจารณญาณ และประสบการณ์ของผู้ตรวจ การประยุกต์ใช้เทคโนโลยีพอยต์คลาวด์ จึงอาจเป็นทางเลือกที่ดีกว่า ในด้านของความถูกต้อง

ในการเปรียบเทียบส่วนนี้ เมื่อทดลองเปรียบเทียบวิธีดังเดิมกับผลลัพธ์จาก iPad Pro 6th Generation นั้น ผลลัพธ์จากอุปกรณ์ ตั้งกล่าว ยังไม่สามารถบอกความเรียบของงานผนังได้อย่างแน่นชัด ซึ่งอาจจะเกิดมาจากวิธีในการเก็บข้อมูลที่ยังไม่เด่นัก หรืออาจจะมาจากค่าความละเอียดของอุปกรณ์ที่อาจจะไม่มากพอ

สรุปได้ว่า Faro Focus M70 สามารถตอบโจทย์ความละเอียดและความถูกต้องได้ในขณะที่ iPad Pro 6th Generation ไม่สามารถตอบโจทย์ความละเอียดความถูกต้องได้ภายใต้เกณฑ์มาตรฐาน CONQUAS

## 5.3 การเปรียบเทียบค่าใช้จ่าย และทรัพยากรที่ใช้ในแต่ละวิธีการ

ในส่วนของการเปรียบเทียบค่าใช้จ่าย และทรัพยากรที่ใช้ในแต่ละวิธีการนั้น สามารถสรุปได้ดังตารางที่ 5

ตารางที่ 5 ตารางเปรียบเทียบต้นทุนอุปกรณ์ด้วยวิธีต่าง ๆ

วิธีการ	ผลิตภาพ แรงงาน (ตรม./คน- ชั่วโมง)	ต้นทุนแรงงาน เฉลี่ย (บาท/คน- ชั่วโมง)	ต้นทุนแรงงาน ต่อหน่วย (บาท/ตรม.)
การตรวจด้วย Faro Focus M70	16	90.91	5.68
การตรวจด้วย iPad Pro 6 <sup>th</sup> Generation	24	90.91	3.79
การตรวจด้วย วิธีดั้งเดิม	25	83.33	3.33

พบว่า เครื่อง Faro Focus M70 มีต้นทุนแรงงานต่อหน่วยมากที่สุด และผลิตภาพแรงงาน ต่ำที่สุด รองลงมาคือ iPad Pro 6<sup>th</sup> Generation สุดท้ายวิธีดั้งเดิมมีต้นทุนแรงงานต่อหน่วยต่ำที่สุด และในผลิตภาพแรงงาน มากที่สุด ในสามวิธีดังตัวเลขแสดงในตารางที่ 5

ในด้านต้นทุนอุปกรณ์ พบร้า Faro Focus M70 มีราคากลางที่สุด รองลงมาคือ iPad Pro 6<sup>th</sup> Generation และต่ำที่สุดคือวิธีการดั้งเดิมซึ่งใช้อุปกรณ์เลเซอร์กำหนดแนวเส้น อย่างไรก็ตาม ห้อง M70 Faro และ iPad Pro ยังต้องใช้คอมพิวเตอร์สำหรับการประมวลผลข้อมูล Point Cloud ซึ่งต้องนำมาพิจารณาร่วมในการวิเคราะห์ต้นทุนโดยรวม

สรุปได้ว่า Faro Focus m70 มีต้นทุนรวมมากที่สุด รองลงมาคือ iPad Pro 6<sup>th</sup> Generation และต้นทุนต่ำที่สุดคือ วิธีดั้งเดิม ดังนั้น iPad จึงเป็นอุปกรณ์ที่มีต้นทุนปานกลาง เป็นทางเลือกที่เหมาะสมสำหรับงานความละเอียดไม่สูงมากนัก

#### 5.4 อภิปรายผลการศึกษา

จากการทดลองพบว่า Faro Focus M70 ให้ค่าลัดเคลื่อนเชิงสเก็ติที่น้อยกว่า โดยมีค่าเฉลี่ยระยะห่างจากระนาบที่สร้างขึ้นอยู่ 2.022 มิลลิเมตร ภายใต้กระบวนการ RANSAC ซึ่งอยู่ภายใต้มาตรฐานคุณภาพงานก่อสร้าง (CONQUAS) ได้อย่างเหมาะสม อีกทั้งยังสามารถทำงานได้ในสภาพแวดล้อมหลากหลาย โดยไม่ถูกบกวนจากปัจจัยภายนอก เช่น แสง เสียง หรือสิ่งของผนัง

ในทางตรงกันข้าม การใช้งาน iPad Pro 6<sup>th</sup> Generation 023 แม้จะมีความสะดวกและต้นทุนต่ำกว่า แต่ยังมีข้อจำกัดอย่างชัดเจนในด้านความแม่นยำและความละเอียดของข้อมูล โดยค่าเบี่ยงเบนที่ได้อยู่ในระดับเซนติเมตร ซึ่งไม่สอดคล้องกับมาตรฐานการตรวจสอบที่กำหนดค่าความคลาดเคลื่อนในระดับมิลลิเมตร ล่งผลให้ข้อมูลที่ได้จาก iPad ไม่สามารถใช้อ้างอิงผลลัพธ์ได้อย่างน่าเชื่อถือ นอกเหนือไปยังพบร้าผลลัพธ์จาก iPad มีความไวต่อปัจจัยแวดล้อม เช่น สิ่งของ และแสงเงา ซึ่งส่งผลกระทบต่อค่าความเบี่ยงเบนมาตรฐานและค่าคลาดเคลื่อนสูงสุดอย่างมีนัยสำคัญ

นอกจากนี้ การเก็บข้อมูล Point Cloud ด้วย iPad ยังไม่ได้รับการกำหนดมาตรฐานที่ชัดเจนในระดับวิชาการ ทำให้แนวทางการเก็บ

ข้อมูลที่ใช้ในการศึกษาครั้งนี้อาจมีข้อจำกัดในด้านคุณภาพของข้อมูลที่ได้ แม้ iPad จะสามารถเก็บข้อมูลได้ในปริมาณมากกว่า Faro Focus M70 แต่ข้อมูลนั้นกลับมีความแม่นยำต่ำกว่าอย่างเห็นได้ชัดซึ่งอาจเกิดจากสัญญาณรบกวนและข้อจำกัดของเซนเซอร์

เมื่อเปรียบเทียบกับ วิธีการตรวจสอบความเรียบแบบดั้งเดิมพบว่า ผลลัพธ์จาก Faro Focus M70 มีความแม่นยำและสม่ำเสมอ กว่าชัดเจน แม้ผลลัพธ์จากวิธีดั้งเดิมจะใกล้เคียง แต่ยังขึ้นอยู่กับประสบการณ์และวิจารณญาณของผู้ปฏิบัติงาน และไม่สามารถตรวจสอบได้ละเอียดในทุกจุด เมื่อเทียบกับระบบสแกนด้วยเลเซอร์ ส่วนด้านต้นทุนและผลิตภัณฑ์ (Productivity) พบว่า Faro Focus M70 มีต้นทุนรวมต่อหน่วยสูงที่สุด เนื่องจากราคาของอุปกรณ์หลัก และระยะเวลาในการตรวจสอบที่นานกว่า แม้จะให้ข้อมูลที่แม่นยำ และครอบคลุมมากกว่า ส่วน iPad Pro 6<sup>th</sup> Generation หากมีการพัฒนาวิธีการเก็บข้อมูลที่เหมาะสมและสามารถลดค่าคลาดเคลื่อนได้ ก็มีศักยภาพที่จะเป็นทางเลือกที่น่าสนใจสำหรับงานที่ไม่ต้องการความละเอียดสูงมากนัก เนื่องจากต้นทุนอุปกรณ์และผลิตภัณฑ์ที่ต่ำกว่า

#### 5.5 ข้อเสนอแนะ

- ควรใช้อุปกรณ์ Faro M70 Scanner ในกรณีที่ต้องการความแม่นยำสูง เช่น การตรวจสอบคุณภาพผิวผนังในห้อง-ton ควบคุ้มงานก่อสร้างหรือการตรวจสอบร่างงาน เนื่องจากมีค่าความคลาดเคลื่อนต่ำและความเสถียรสูง
- การใช้อุปกรณ์ iPad Pro 6<sup>th</sup> Generation ควรจำกัดไว้ในกรณีที่ไม่ต้องการความละเอียดสูง หรือในงานตรวจสอบเบื้องต้นที่มีความเหมาะสมกับความแม่นยำของอุปกรณ์ เช่น การเก็บข้อมูลหน้างานอย่างรวดเร็ว หรือในพื้นที่ที่ไม่สามารถเข้าถึงได้สะดวก
- หากต้องการใช้อุปกรณ์ iPad Pro 6<sup>th</sup> Generation ในการตรวจสอบความเรียบของงานผนัง หรืองานด้านอื่น ที่มีความละเอียดสูง อาจต้องศึกษาวิธีการในการเก็บข้อมูล หรือ ประมวลผลข้อมูลเพิ่มเติม
- ควรมีการควบคุมสภาพแวดล้อมหน้างานให้เหมาะสม เช่น ระดับแสงและแสงสะท้อนก่อนการสแกน โดยเฉพาะเมื่อใช้งานกับอุปกรณ์ที่ใช้เทคโนโลยี LiDAR บนอุปกรณ์พกพา
- สามารถพัฒนาชุดคำสั่งการประมวลผล หรือชุดคำสั่งสำหรับกรองข้อมูลเพิ่มเติม เพื่อช่วยลดสัญญาณรบกวนจากข้อมูลที่เก็บด้วยอุปกรณ์แท็บเล็ต และเพิ่มคุณภาพของข้อมูลที่ได้มา ประมวลผลได้แม่นยำและถูกต้อง
- การขยายขอบเขตของการศึกษาไปยังวัสดุผิวผนังประเภทอื่น เช่น ผิวหิน ผิวกระเบื้อง ผิวทางสีใหม่ หรือผนังที่มีลวดลาย เพื่อให้สามารถนำไปประยุกต์ใช้ในสถานการณ์ที่หลากหลายมากขึ้น
- ยังจำเป็นต้องมีการวิจัยที่เกี่ยวข้องอย่างต่อเนื่องเพื่อให้เป็นข้อมูลที่เพียงพอสำหรับการอุปกรณ์แท็บเล็ต โทรคัพพ์มือถือ ในการตรวจสอบความเรียบผนังได้อย่างถูกต้อง และความแม่นยำเพียงพอ สำหรับงานควบคุมคุณภาพงานก่อสร้าง

- 8 ในการใช้ชุดคำสั่งประมวลผลเดียวกับงานวิจัย อาจต้องเพิ่ง อุปกรณ์ประมวลความสามารถสูงเพื่อที่จะสามารถประมวลผล ภายในได้รับการทำงานสูง ในระยะเวลาที่จำกัดให้ได้ผลลัพธ์ที่ ระดับความเชื่อมั่น 90% ขึ้นไป
- 9 ในการเก็บชุดข้อมูลพอยต์คลาวด์ของผนังเดียวกันที่มาจากการ อุปกรณ์ที่แตกต่างกัน เมื่อนำชุดข้อมูลที่ได้มาจากแต่ละ อุปกรณ์มาเปรียบเทียบกัน ต้องคำนึงถึงเรื่องระบบพิกัดของ ข้อมูลที่อยู่ในระบบพิกัดอ้างอิงไม่เหมือนกัน ความมีการทำ แปลงค่าพิกัดของข้อมูลพอยต์คลาวด์ให้อยู่ในระบบพิกัด เดียวกันแสดงผลในตัวແண່ງเดียวกัน เพื่อเปรียบเทียบ คุณภาพข้อมูลที่ได้จากต่างอุปกรณ์กัน เช่นการเปรียบเทียบชุด ต่อจุดข้อมูลที่ได้จากต่างอุปกรณ์ ดังแสดงในภาคผนวก ค
- 10 ในงานวิจัยนี้ได้สร้างชุดคำสั่งที่จะทำการสร้างระบบเรียน เสมือนด้วยกระบวนการ RANSAC เพื่อใช้ตรวจสอบความ เรียบผนัง ควรคำนึงความคลาดเคลื่อนที่เกิดขึ้นระหว่าง กระบวนการ RANSAC อาจเพิ่มเติมด้วยการพัฒนาชุดคำสั่ง สำหรับปรับแก้ข้อมูลที่สร้างขึ้นให้ใกล้เคียงกับผนังความเรียบ ที่สมควรเกิดขึ้นในความเป็นจริง
- 11 ในการเก็บข้อมูลพอยต์คลาวด์สำหรับตรวจสอบความเรียบ ผนังด้วยอุปกรณ์ iPad ควรสแกนพอยต์คลาวด์ด้วยจำนวน รอบมากกว่าในงานวิจัยที่ใช้เพียง 1 รอบ เพื่อความสมบูรณ์ ของข้อมูล

### กิตติกรรมประกาศ

บทความฉบับนี้สำเร็จลุล่วงได้อย่างสมบูรณ์ด้วยการช่วยเหลือ สนับสนุนจากหลายฝ่ายด้วยกันโดยเฉพาะอย่างยิ่ง คณะกรรมการจัดทำ ข้อบ邱ประคุณ รองศาสตราจารย์วัชระ เพียรสุภาพ อาจารย์ที่ปรึกษา หลักในบทความวิจัยฉบับนี้ ที่ให้แนวคิดและแนวทางในการศึกษา พัฒนา ทั้งตรวจสอบทความวิจัยฉบับนี้ให้คณะกรรมการผู้จัดทำ ข้อบ邱ประคุณบริษัท ซี อี เอส จำกัดใช้ต่อจากก่อสร้างอาคารศาลาเจ้า ได้ทรงกร (สาทร) ที่ให้ความอนุเคราะห์พื้นที่ศึกษาสำหรับเก็บข้อมูลใน งานวิจัยทั้งหมด และขอบคุณ บริษัท พรีบิลท์ จำกัด (มหาชน) ที่ ถ่ายทอดความรู้ความชำนาญวิธีการในการตรวจสอบความเรียบผนัง หน้างาน

### เอกสารอ้างอิง

- [1] Abdel-Majeed, H. M., Shaker, I. F., Abdel-Wahab, A., & Awad, A. A. D. I. (2024). Indoor mapping accuracy comparison between the apple devices' LiDAR sensor and terrestrial laser Scanner. HBRC Journal, 20(1), 915-931.
- [2] Aldosari, M. D. A. (2019). Mobile Lidar for Monitoring MSE Walls with Smooth and Textured Precast Concrete Panels [In Partial Fulfillment of the Requirements for the degree of Doctor of Philosophy, Lyles School of Civil Engineering]. West Lafayette, Indiana.  
[https://hammer.purdue.edu/articles/thesis/Mobile\\_Lidar\\_for\\_Monitoring\\_MSE\\_Walls\\_with\\_Smooth\\_and\\_Textured\\_Precast\\_ConcretePanels/11663763/1?file=21242097](https://hammer.purdue.edu/articles/thesis/Mobile_Lidar_for_Monitoring_MSE_Walls_with_Smooth_and_Textured_Precast_ConcretePanels/11663763/1?file=21242097)
- [3] Arpan P. Trived, J. V. S., Ankitkumar S. Patel, Jatin Kumar S. Patel. (2024). Evaluation of Quality Control in Construction Project. International Research Journal on Advanced Engineering Hub (IRJAEH), 2(08), 2166-2172. <https://doi.org/https://doi.org/10.47392/IRJAEH.2024.0294>
- [4] Cao, Y., Liu, J., Feng, S., Li, D., Zhang, S., Qi, H., Cheng, G., & Frank Chen, Y. (2022). Towards automatic flatness quality assessment for building indoor acceptance via terrestrial laser scanning. Measurement, 203, 111862.<https://doi.org/https://doi.org/10.1016/j.measurement.2022.111862>
- [5] Doougphummet, T., Boonserm, P., & Lipikorn, R. (2022). 3D building internal structural component segmentation from point cloud data using DBscan and modified RANSAC with normal deviation conditions. In Proceedings of the Computational Methods in Systems and Software (pp. 87-99). Springer.
- [6] Fischer, H. (2011). A history of the central limit theorem: from classical to modern probability theory (Vol. 4). Springer.
- [7] Lee, N. (2018). Good Overlap. In. Laser Scanning Forum: Laser Scanning Forum.
- [8] Ratsimandresy, N. (2022). Quality Management in Construction. <https://www.blog-qhse.com/en/quality-management-in-construction>
- [9] Teo, T.-A., & Yang, C.-C. (2023). Evaluating the accuracy and quality of an iPad Pro's built-in lidar for 3D indoor mapping. Developments in the Built Environment, 14, 100169. <https://doi.org/https://doi.org/10.1016/j.dibe.2023.100169>
- [10] Wang, Q., & Kim, M.-K. (2019). Applications of 3D point cloud data in the construction industry: A fifteen-year review from 2004 to 2018. Advanced engineering informatics, 39, 306-319.
- [10] Aonic. (2566). LiDAR ในโดรนสำรวจและวิธีการประมวลผล Point Cloud. สืบค้นจาก <https://aonic.com/th/lidar-point-cloud/>

- [11] Infraplus. (2564). MMS (Mobile Mapping System). สี บ ค น จ า ก จ า ก  
<https://infraplus.co.th/%E0%B8%94%E0%B8%B9%E0%B8%AB%E0%B8%99%E0%B9%89%E0%B8%B2-28579-%E0%B9%80%E0%B8%97%E0%B8%84%E0%B9%82%EO%B8%99%E0%B9%82%E0%B8%A5%E0%B8%A2%E0%B8%B5%E0%B8%81%E0%B8%B2%E0%B8%A3%E0%B8%AA%E0%B8%B3%E0%B8%A3%E0%B8%A7%E0%B8%88.html>
- [12] Pasco. (ม.ป.ป.). MMS (Mobile Mapping System). สืบค้นจาก <https://www.pascoth.com/th/others.php>
- [13] Phapawich Mahamart. (2565). LiDAR เทคโนโลยีแห่งโลกอนาคต. สำนักงานพัฒนาเทคโนโลยีวิทยาศาสตร์และภูมิศาสตร์ (Gistda). สี บ ค น จ า ก  
[https://www.gistda.or.th/news\\_view.php?n\\_id=5884&lang=EN](https://www.gistda.or.th/news_view.php?n_id=5884&lang=EN)
- [14] เขตโสภณ จ่าภา และณัฐวรรณ์ จุลพันธ์. (2564). การศึกษา เทคโนโลยีในการตรวจสอบผนัง (A Study Teachnology for Wall Inspection). จุฬาลงกรณ์มหาวิทยาลัย. สืบค้นจาก [https://civil.eng.chula.ac.th/Data\\_Upload/Senior%20project/2021/CM\\_2021/Y2021\\_CM\\_Article\\_G01.pdf](https://civil.eng.chula.ac.th/Data_Upload/Senior%20project/2021/CM_2021/Y2021_CM_Article_G01.pdf)
- [15] นพฤทธิ์ ศ., & เพียรสุภาพ ว. (2564). การประยุกต์ใช้ข้อมูลพอยท์คลาวด์เพื่อสนับสนุนการตรวจสอบคุณภาพ. การประชุมวิศวกรรมโยธาแห่งชาติครั้งที่ 26, 26, CEM-12. สืบค้น จาก <https://conference.thaince.org/index.php/ncce26/article/view/954>